

堆積学(夏学期、水曜2限(10:30~12:00)

蒸発岩と炭酸塩堆積物のイントロ

①4月10日	堆積学史、堆積粒子の起源
②4月17日	風化・浸食・運搬過程
③4月24日	碎屑性堆積物（浅海成相）
④5月1日	碎屑性堆積物（深海成相）
⑤5月8日	河川成相
⑥5月15日	風成相・水河成相
⑦5月29日	碎屑岩の統成作用
⑧6月5日	化学沈殿岩
⑨6月12日	堆積成粘土
⑩6月19日	蒸発岩と炭酸塩堆積物1（浅海成相）
⑪6月26日	炭酸塩堆積物2（深海成相）
⑫7月3日	炭酸塩岩の統成作用
⑬7月17日	試験、⑭7月10日 予備日

堆積岩：

流体運動の作用により地表あるいは水底に沈積した固体粒子の集合物を堆積物とし、圧密や膠結(コウケツ)などによる粒子間稠密(チュウミツ)で固結した堆積物

堆積粒子：堆積物や堆積岩を構成する粒子。

岩石片や鉱物、火山噴出物、生物の遺骸、流体の蒸発及び化学反応で晶出した粒子

堆積盆地(sedimentary basin)

：堆積物がまとまって存在する場所(特に盆地状構造でなくてもOK)

安定陸棚：橋状地の周縁部で先カンブリア紀の基盤岩を不整合に覆う広大な浅海堆積物。

海進期→化石に富む浅海成の石灰岩や頁岩

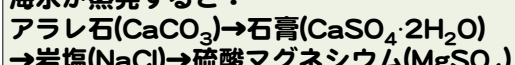
海退期→石英質砂岩、蒸発岩、石炭層等

基盤が安定しているため、変形をあまり受けず、海水準変動に伴う平行不整合が形成され易い。

内陸盆地：大陸地殻内に広域に生じる盆地状構造。その堆積物は一般には薄く(1500m以下, cf karoо盆地は約8000m)、風成、湖成、河川堆積物、石炭層、蒸発岩

蒸発岩：蒸発作用によって生じる堆積岩

海水が蒸発すると：



岩塩は透水率0・岩塩ドーム(低密度2.16)

→石油・天然ガスの集積

→地層処分や液体燃料の一次貯留

メッシニアン塩分危機：

- ①メッシーナ期(7.246 ± 5 ~ 5.332 ± 5 Ma), 5.96 Maに地中海が干上がったイベント
- ②地中海周辺国でみられる蒸発岩が形成

メッシニアン塩分危機：

- ①メッシーナ期(7.246 ± 5 ~ 5.332 ± 5 Ma), 5.96 Maに30万年間程度に何回にもわたり地中海が干上がったイベント
- ②地中海周辺国でみられる蒸発岩が形成



図 6.22 西地中海におけるメッシーナ期の古地理復元図
ジブラルタル海峡閉じて、外洋水がイベリア半島と北アフリカに出了した(Bariloche passage)。結果として地中海は大幅な地殻的縮まりにより外洋から半隔離された海上に、高溫・乾燥の気候条件が見ると、蒸発量が増加する。ベティック水路の地中海寄りの出口に近い海藻はセッコウの堆積する場所となった。

- ①アフリカプレートの北進とイベリア半島の東進に伴いジブラルタル弧が隆起
- ②また、①の運動に伴い、横ずれのベティック構造帯とリフ構造帯が形成。堆積盆が多く作られるとともに、こから海水が流入。

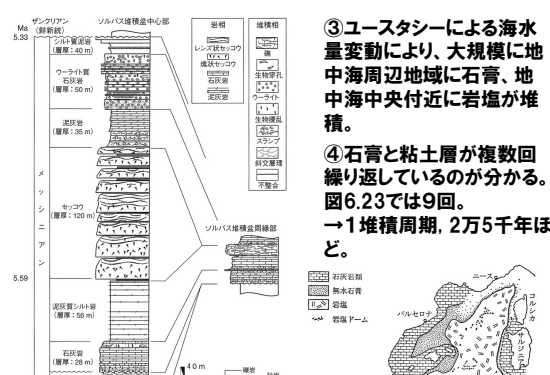


図 6.23 南スペイン・アンダルシア地方のソルバ塩堆積盆地(図 6.22)を埋蔵する
メッシーナ期の堆積相分布
地中海 Balneario-Alborà 海底の岩層相分布(Hsü et al., 1973*による)

蒸発岩の形成場

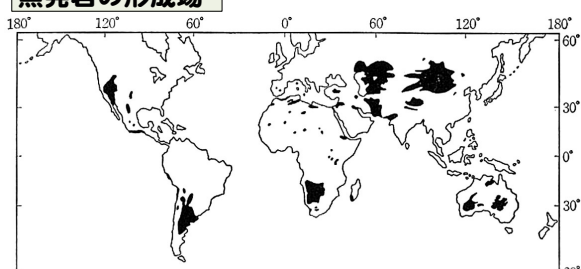
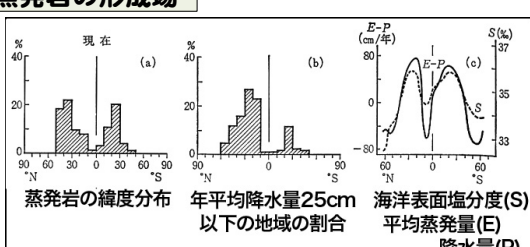


図 4.7 現在堆積しつつある蒸発岩の分布(Drewry et al., 1974*による)

- ①安定大陸の中・低緯度地帯。赤道直下の 10° 以内を除く、南北 50° 内。年間降水量25cm以下
- ②降水量が極端に小さく、河川水の流入も少なく、蒸発量が降水量や流入量を上回る。

蒸発岩の形成場



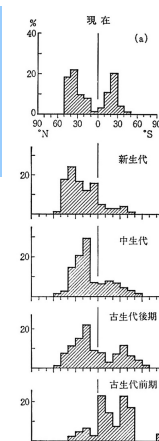
①安定大陸の中・低緯度地帯。赤道直下の 10° 以内を除く、南北 50° 内。年間降水量25cm以下

- ②降水量が極端に小さく、河川水の流入も少なく、蒸発量が降水量や流入量を上回る。

③海洋域では、海洋表面塩濃度の高い所に相当。

蒸発岩の形成場

①古生代前期(カンブリア紀-石炭紀)
蒸発岩の発達の少ない時
南に偏っているが、大陸分布による。

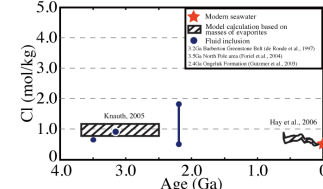
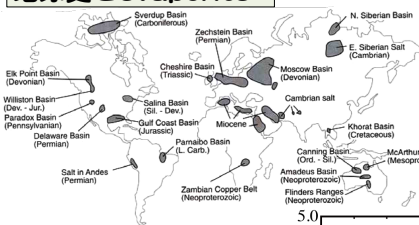


②古生代後期～中生代中期(ベルム紀～ジュラ紀)
⇒超大陸パンゲア(ローレンシア+ゴンドワナ大陸)

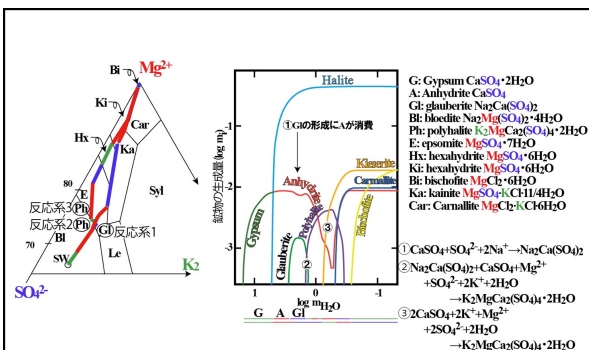
⇒ベルム紀に、ローレンシア大陸中央部にNew Red Sandstoneと呼ばれる砂漠堆積物が広がるとその東側には北と東から湾入したZechstein sea(浅海)

③三疊紀中期～後期: 南～東から湾入した浅海域
④中生代後期～新生代(白亜紀～新生代)
南大西洋沿岸(白亜紀初頭のAptian)と環地中海海域(メッシニア)

地球史とevaporite



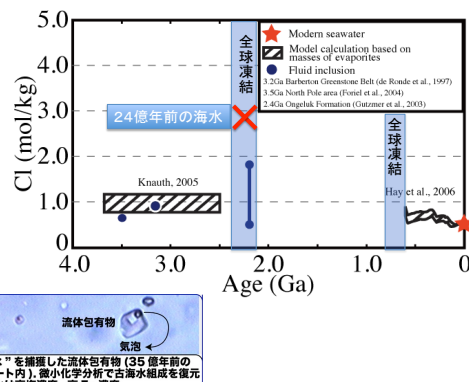
地球史と蒸発岩



G: Gypsum $\text{CaSO}_4 \cdot 2\text{H}_2\text{O}$
A: Anhydrite CaSO_4
Gt: glauconite $\text{Na}_2\text{Ca}(\text{SO}_4)_2 \cdot 4\text{H}_2\text{O}$
Bt: bischofite $\text{Na}_2\text{Mg}(\text{SO}_4)_2 \cdot 4\text{H}_2\text{O}$
Ph: polyhalite $\text{K}_2\text{Mg}(\text{ClO}_4)_2 \cdot 2\text{H}_2\text{O}$
E: epsomite $\text{MgSO}_4 \cdot 7\text{H}_2\text{O}$
Hx: hexahydrite $\text{MgSO}_4 \cdot 6\text{H}_2\text{O}$
Kt: kainite $\text{MgSO}_4 \cdot \text{KCl} \cdot 4\text{H}_2\text{O}$
Car: carnallite $\text{MgCl}_2 \cdot \text{KCl} \cdot 6\text{H}_2\text{O}$

反応系1: $\text{CaSO}_4 + \text{Na}_2\text{SO}_4 \rightarrow \text{Na}_2\text{Ca}(\text{SO}_4)_2$
反応系2: $\text{Na}_2\text{SO}_4 + \text{CaSO}_4 + \text{Mg}^{2+} + \text{SO}_4^{2-} + 2\text{K}^+ + 2\text{H}_2\text{O} \rightarrow \text{K}_2\text{Mg}(\text{ClO}_4)_2 \cdot 2\text{H}_2\text{O}$
反応系3: $2\text{CaSO}_4 + 2\text{K}^+ + \text{Mg}^{2+} + 2\text{SO}_4^{2-} + 2\text{H}_2\text{O} \rightarrow \text{K}_2\text{Mg}(\text{ClO}_4)_2 \cdot 2\text{H}_2\text{O}$

海水塩濃度の経年変化



(1) 砂鉱(placer)とは: 後背地に特殊な鉱物が多く含まれていて、それが川や風によって運ばれ堆積したもの

特徴:

- (1) 鉱物が化学的に安定
- (2) 後背地に多く存在
- (3) 多くの場合、その鉱物は比重や硬度が大きい。

例:

Au, Pt, イリドスミン(Ir, Os), 磁鉄鉱, チタン鉄鉱
錫石, クロム鉄鉱, 鉄マンガン重石($\text{Fe}, \text{Mn}\text{WO}_4$,
ザクロ石 $\text{Mg}_3\text{Al}_2\text{Si}_3\text{O}_4$, モナズ石($\text{Ce}, \text{La}, \text{Nd}, \text{Th}\text{PO}_4$,
ジルコン, ダイヤモンド, 石英

化学沈殿岩(縞状鉄鉱層、縞状Mn層など)

堆積性が主要な鉱床形成である有用元素

- (1) 砂鉱 : Sn, Au, Pt, REE, Zr, K, Na, Ba, S, Ca, Mg
- (2) 残留鉱床 : Al, Ni(ラテライト, ポーキサイト)
- (3) 堆積性鉱床 : Pb, Fe, Zn, Mn, U, Pd, P
Rh(ロジウム), Os, Si, Al, Ca, Mg

(1) 残留鉱床とは: 一般に風化によって、鉱物の一部が水に溶解する。この時、水に溶けにくい元素は残り粘土鉱物を形成する。
e.g. $\text{NaAlSi}_3\text{O}_8 + \text{H}_2\text{O} \rightarrow \text{NaAl}_8\text{Si}_{11}\text{O}_{30}(\text{OH})_6 + \text{H}_2\text{O}$ (含NaやSi)
 $\text{NaAlSi}_3\text{O}_8 + \text{H}_2\text{O} \rightarrow \text{Al}_2\text{Si}_2\text{O}_5(\text{OH})_4 + \text{H}_2\text{O}$ (含NaやSi)
そのようにして生じた粘土鉱物が、運搬され、再堆積する(ラテライト, Al_2O_3 と Fe_2O_3 に富む)。さらに、 Fe_2O_3 が溶脱され、 Al_2O_3 に濃集(ポーキサイト)。

炭酸塩堆積物・炭酸塩岩

(1) 炭酸塩堆積物・炭酸塩岩とは

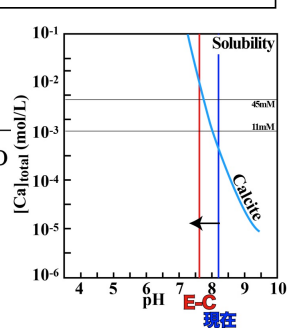
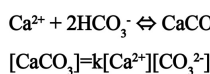
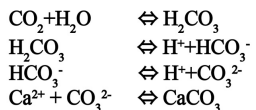
⇒構成鉱物の50%以上が炭酸塩鉱物からなる堆積物または堆積岩
⇒多くの場合化石の集積体で、底生生物遺骸からなる原生地～準原生地のものが多い。異地性のものでも運搬距離は短く、バンクや海山状の石灰質堆積物が重力流として深海に流れ込んだ程度(石灰質タービダイト)

(2) 炭酸塩岩の構成鉱物

- ① 方解石(calcite, CaCO_3), アラレ石(aragonite, CaCO_3 , ドロマイド(dolomite, $\text{CaMg}(\text{CO}_3)_2$)
- ② シデライト(siderite, FeCO_3)
菱マンガン鉱(rhodochrosite, MnCO_3)
マグネサイト(magnesite, MgCO_3)
- ③ 低Mg方解石(<4mol% MgCO_3)
高Mg方解石(>4mol% MgCO_3)

炭酸塩堆積物・炭酸塩岩

(3) 炭酸塩鉱物の生成



⑥ 生物ポンプと無機 (物理, アルカリ) ポンプまとめ

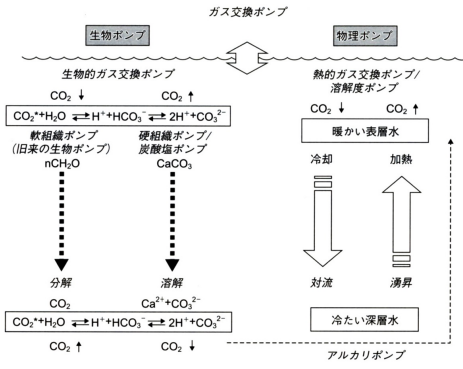
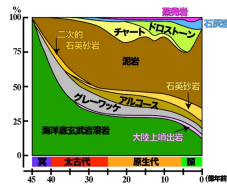


図 1.3.9 生物ポンプと物理ポンプのまとめ.

⑥ 炭酸塩岩の経年変化

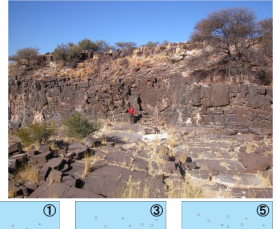


カナダ・ラブラドルNulliak表成岩帯3.88Ga

碳酸盐岩

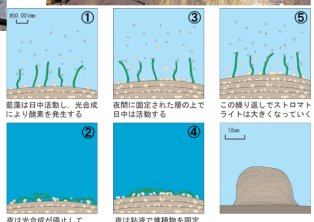


ストロマトライト —酸素発生型光合成細菌： シアノバクテリア



酸素発生型光合成の開始と大気酸素の増加

ストロマライトの成長

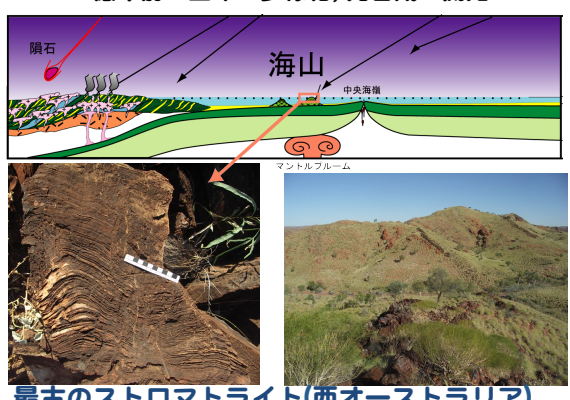


現在の地球にある“太古”の海

(1) 高塩分濃度
—シアノバクテリア
ストロマライトー

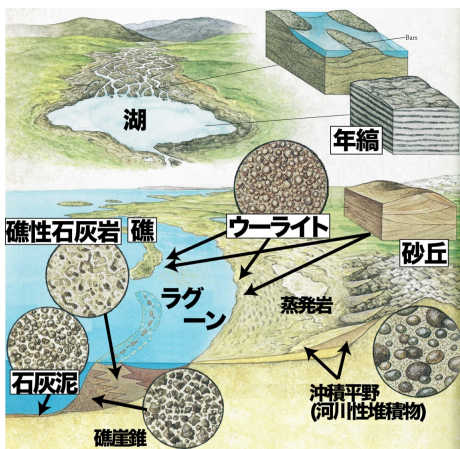


35億年前—生命の多様化、光合成の開始—



最古のストロマトライト(西オーストラリア)

- (1) 陸上
(subaerial): 鐘乳洞、海岸の完全に波の影響を受けない所
- (2) 風成環境
- (3) Tidal zone:
潮上帯～潮間帯～下高潮帯
- (4) 海岸
- (5) 陸翻(ラグーンなど)
- (6) リーフ(礁)
- (7) 大陸斜面
- (8) 海洋底



炭酸塩堆積物・炭酸塩岩



(3) 岩酸塙堆積物・岩酸塙岩の構成要素

- (3) 炭酸塩堆積物・炭酸塩岩の構成要素

 - ①粒子：生物骨格粒子と非生物骨格粒子
 - (i) 生物骨格粒子・生碎物(skeletal grain, bioclast)
 - 石灰藻類、造礁サンゴ、有孔虫、腕足動物、軟体動物、コケムシ等
 - 各生物のサイズ
 - 一般に炭酸塩堆積物は原地性～準原地性が多い(凹磨度が低い、生物固有のサイズ、淘汰が悪い)

炭酸塩堆積物

炭酸塩堆積物・炭酸塩岩

分類群	試物	含有量(%)			
		Ca	Mg	Sr	
紅藻類	<i>Acanthocorallinaceae</i> 科	高 Mg 方解石	32.3	3.26~4.38	0.12~0.27
	<i>Lithothamnion</i> (+)	*	32.1	1.74~4.00	0.11~0.32
緑藻類	<i>Halimedaceae</i> 科	アラゴナイト	34.7~37.5	0.04~0.27	0.77~0.97
	<i>Cymodoceidae</i> 科	*	39.0	0.32~0.37	0.89~0.91
有孔虫類	<i>Archaeais</i> (浮生)	高 Mg 方解石	35.3	1.28~1.42	0.15~0.18
	<i>Orbulina</i>	*	34.6~36.0	2.57~3.63	0.15~0.20
	<i>Globigerinoides</i> (浮遊性)	方解石	*	0.12~0.20	0.10~0.11
八放珊瑚類	<i>Heliopora</i>	アラゴナイト	39.6	0.26	0.69
	<i>Tubipora</i>	高 Mg 方解石	33.8	3.5~5.0	0.22~0.35
六放珊瑚類	<i>Acropora</i>	アラゴナイト	38.8	0.11~0.13	0.74~0.87
	<i>Pecten</i>	*	39.4	0.09~0.18	0.71~0.87
コロリ目	<i>Tubulipora</i>	高 Mg 方解石	37.6~38.6	1.12~1.28	0.30
	<i>Parasmittina</i>	アラゴナイト	38.9~39.4	0.09~0.20	0.83~0.88
二枚貝類	<i>Cardium</i>	アラゴナイト	35.0	0.046	0.13
	<i>Pecten</i>	大部分方解石	38.7~39.6	0.04~0.69	0.07~0.22
	<i>Crassostrea</i>	*	39.0	0.11~0.27	0.07~0.16
腹足類	<i>Strombus</i>	アラゴナイト	39.7~39.9	0.03~0.06	0.12~0.21
	<i>Patella</i>	アラゴナイト	38.0	0.35	0.057
		方解石石灰岩			

炭酸塩堆積物・炭酸塩岩

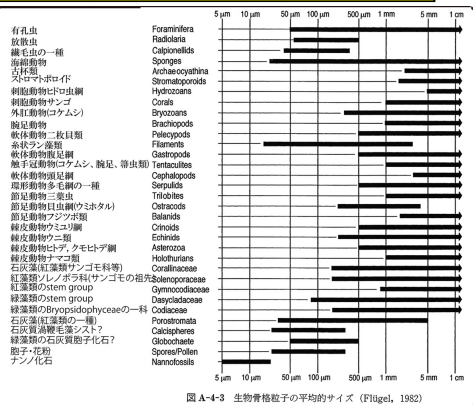
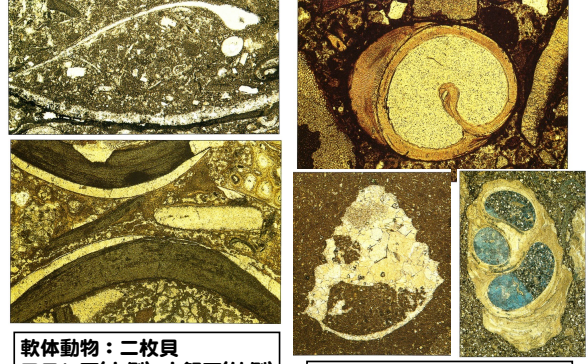


図 A-4-3 生物骨格粒子の平均的サイズ (Flügel, 1982)

炭酸塩堆積物中の生物化石



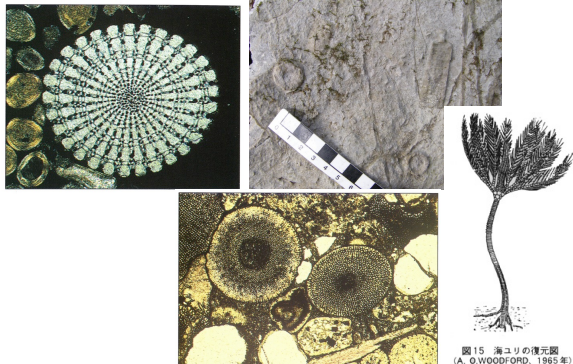
軟体動物：腹足綱

炭酸塩堆積物中の生物化石



触手動物(外肛動物), コケムシ 縦断面, 横断面

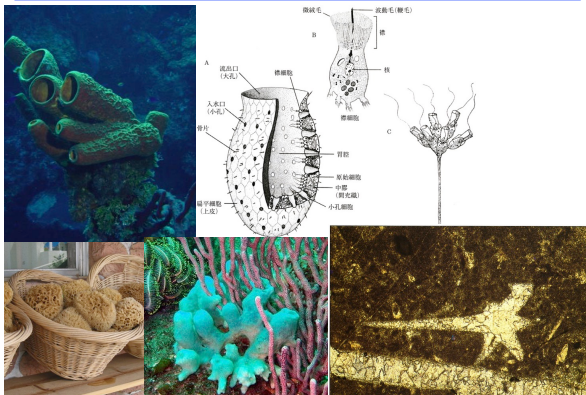
炭酸塩堆積物中の生物化石



棘皮動物(ウニ) 棘皮動物：ウミユリ

図15 海ユリの復元図
A. O.WOODFORD、1965年)

炭酸塩堆積物中の生物化石(海綿動物)



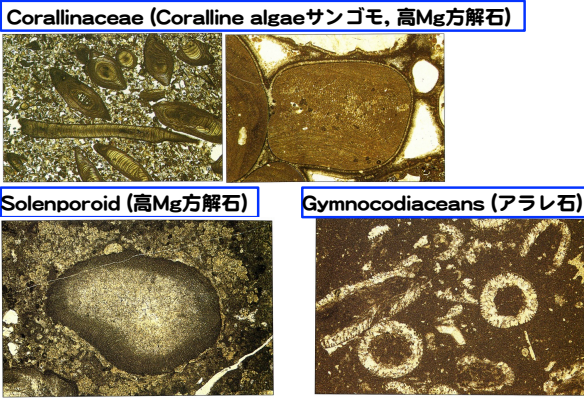
炭酸塩堆積物中の生物化石(石灰藻)

dasycladaceans(緑藻、アラレ石)



cordiacean(緑藻, *Halimeda*, 浅海炭酸塩堆積場, Caribbean, アラレ石)

炭酸塩堆積物中の生物化石(石灰藻、紅藻)



炭酸塩堆積物・炭酸塩岩

(i) 非生物骨格粒子

③イントラクラスト

同一堆積盆地または同一水域内で形成された炭酸塩堆積物が準同時的に浸食され堆積したもの。
→砂～小礫サイズ、やや円磨。
→潮上帯(supratidal)～潮間帶(intertidal)の炭酸塩岩に多い
→波浪や潮流による半固結底質の削剥、生物浸食、初期統成による堆積物の体積変化、潮上帯での乾裂などによる

④その他の同心円状構造

- ①オンコイド：シアノバクテリアによる被覆: ooidのように完全に球形でなく、また被覆も明瞭でない。
- ②石灰藻球(rhodolith)：無節サンゴモ
- ③有孔虫球(macroid)

炭酸塩堆積物・炭酸塩岩

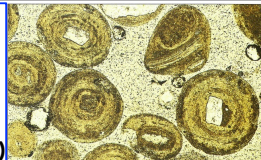
(3) 炭酸塩堆積物・炭酸塩岩の構成要素

①粒子：生物骨格粒子と非生物骨格粒子

(i) 非生物骨格粒子

①ウーリド(魚卵石)

核とそれを取り囲む被殻(<2mm径。>2mmはビソイド)。海水よりも高塩分のごく浅海域で、波浪などによる転動により形成
ウーライト(ウーリドからなる岩石)

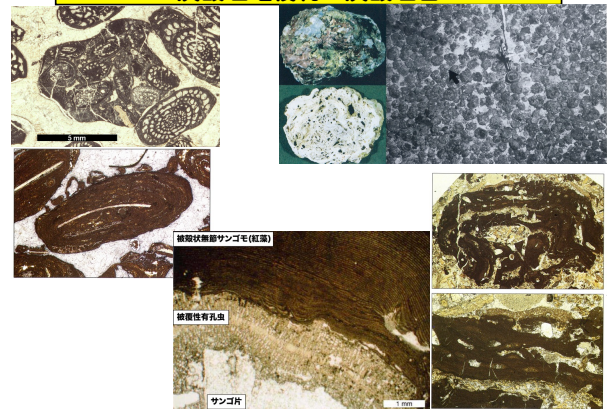


②ペロイド

石灰泥からなる内部構造を持たない楕円形ないし不定形粒子。
①腕足類や節足動物などの殻が固結したペレット②穿孔性微生物によるミクライト化作用③ミクライト質のイントラクラスト(蝶、波浪や穿孔などで生じる)

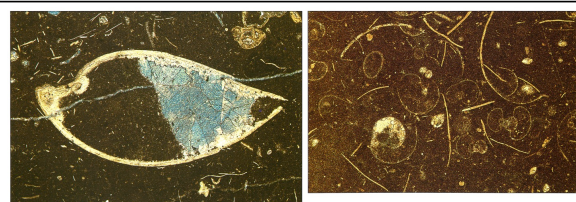


炭酸塩堆積物・炭酸塩岩



炭酸塩堆積物・炭酸塩岩

②基質：シルトサイズ(62μm)以下の石灰泥から構成



⇒4 μm以下の微粒炭酸塩鉱物またはその岩石をミクライトと呼ばれる。

- ①海水から無機的・生物活動に誘引されて沈殿
- ②生物骨格が細粒化
- ③細粒なセメントや土壤生成物

炭酸塩堆積物・炭酸塩岩

③セメント：炭酸塩鉱物の溶解沈殿による。

⇒鉱物組成：低Mg方解石、高Mg方解石、アラレ石、ドロマイト、シデライト等。石こう(gypsum)、無水石膏(anhydrite)、石英

⇒結晶サイズ：

- マイクロスパー, 4~10 μm,
- スパー,>10 μm

⇒産状

⇒孔隙：

溶解過程で溶解作用により孔隙が形成されたり、セメントによって充填されたりする。



成因(孔隙における間隙水の状態と形成段階)

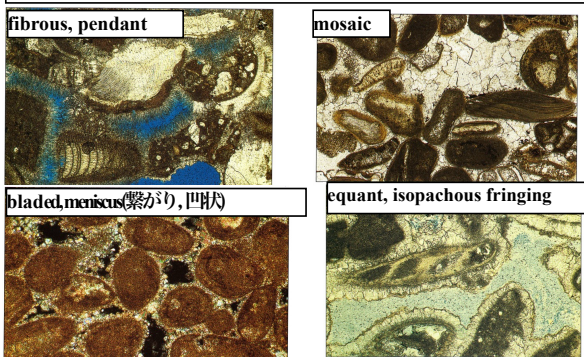
孔隙中に空気と水が共存

孔隙中に水が満たす

地下深部に埋没

炭酸塩堆積物・炭酸塩岩

③セメント：炭酸塩鉱物の溶解沈殿による。



(1) 炭酸塩の堆積環境

- (1) 陸上
(subaerial): 鍾乳洞、海岸の完全に波の影響を受けない所
- (2) 風成環境
- (3) Tidal zone : 潮上帯～潮間帯～下干潮帯
- (4) 海岸
- (5) 陸棚(ラグーン)
- (6) リーフ(礁)
- (7) 大陸斜面
- (8) 海洋底

